

ӨОЖ 65.011.56  
FTAMP 44.01.77

<https://doi.org/10.48184/2304-568X-2021-1-16-21>

## «ЖАНАРМАЙ – ҚАЗАНДЫҚТАҒЫ БУ ҚЫСЫМЫ» КАНАЛЫ БОЙЫНША БУ ӨНДІРУ ҚАЗАНДЫҒЫНЫҢ БЕРІЛІС ФУНКЦИЯСЫ

<sup>1</sup>М.А. ДЖАМАНБАЕВ, <sup>1</sup>Е.Қ. МУСАБАЕВ

(<sup>1</sup>«Алматы технологиялық университеті» АҚ, Алматы, Қазақстан)  
E-mail: dzhamanbaev@mail.ru

Мақалада бу өндіру қазандығындағы бу қысымы мен қазандыққа берелетін жанармай мөлигерінің араларындағы аналитикалық тәуелділік (математикалық модель) алынған. Математикалық модель «жанармай – қазандықтагы бу қысымы» каналы бойынша тәжрибелік жсолмен алынған сипаттамаға сүйене отырып анықталған. Тәжрибелік сипаттама өз кезегінде М.П. Симою және Е.П. Стефани тәсілі арқылы өндөледі. Бу қазандығындағы будың өзгеру динамикасы Matlab (Simulink) модельдеу ортасында модельденген. Мақалада келтірілген нәтижелер бу өндірудегі бу қысымын тұрактандыру жүйесін құруда қолданыс табады. Дағлірек айтсақ, автоматты реттеуіштің орнықтылық аймагын тұргызуда, сол сияқты, технологиялық процесстерге қойылатын талаптарды қанагаттандыратындағы реттеуіштің баптау параметрлерінің оптимальдық мәндерін есептеуде пайдаланаады.

Негізгі сөздер: басқарылатын объект, математикалық модель, тәжрибелік отпелі сипаттама, беріліс функциясы, дифференциалдық теңдеу, аудан тәсілі.

## ПЕРЕДАТОЧНАЯ ФУНКЦИЯ ПАРОВОГО КОТЛА ПО КАНАЛУ «ПОДАЧА ТОПЛИВА – ДАВЛЕНИЕ ПАРА НА ВЫХОДЕ КОТЛА»

<sup>1</sup>М.А. ДЖАМАНБАЕВ, <sup>1</sup>Е.К.МУСАБАЕВ

(<sup>1</sup>АО «Алматинский технологический университет», Алматы, Казахстан)  
E-mail: dzhamanbaev@mail.ru

*В статье получена аналитическая зависимость (математическая модель) между давлением пара на выходе парового котла и топлива, подаваемого в котел. Математическая модель определена на основе характеристик, полученных экспериментально по каналу «топливо - давление пара в котле». Обработка экспериментальных данных осуществлена методом М.П. Симою и Е.П. Стефани. Динамика изменения давления пара в паровом котле моделируется в среде моделирования Matlab (Simulink). Полученная модель будет использована при разработке автоматической системы регулирования процесса парообразования. В частности, при установлении и области устойчивой работы регулятора, при выборе оптимальных значений параметров настройки регулятора, удовлетворяющих заданные показатели качества технологических процессов.*

**Ключевые слова:** объект управления, математическая модель, экспериментальная переходная характеристика, метод площадей, передаточная функция, дифференциальное уравнение.

## STEAM BOILER TRANSFER FUNCTION THROUGH FUEL SUPPLY - STEAM PRESSURE AT BOILER OUTLET

<sup>1</sup>М.А. DJAMANBAYEV, <sup>1</sup>Е.К.МУСАБАЕВ

(<sup>1</sup>«Almaty Technological University» JSC, Almaty, Kazakhstan)  
E-mail: dzhamanbaev@mail.ru

*The article provides an analytical relationship (mathematical model) between the steam pressure at the exit of the steam boiler and the fuel supplied to the boiler. The mathematical model was determined on the basis of the characteristics obtained experimentally through the channel "fuel - steam pressure in the boiler". The experimental data were processed by the method of M.P. Simo and E.P. Stephanie. The dynamics of the change in steam pressure in a steam boiler is simulated in the Matlab (Simulink) simulation environment. The resulting model will be used to develop an automatic control system for the vaporization process. In particular, when establishing the region of stable operation of the regulator, when choosing the optimal values of the tuning parameters of the regulator that satisfy the given quality indicators of technological processes.*

**Key words:** control object, mathematical model, experimental transient response, area method, transfer function, differential equation.

### Kириллица

Қазіргі заманғы энергетика негізін ірі жылу электр станциялары (ЖЭО), өндірістік жылыту қазандықтары, өндірістерді жылумен жабдықтау жүйелері, әр түрлі мақсаттағы тоңазытқыш қондырығылар, кептіру қондырығылары және т.б. құрайды. Солардың ішінде қазандық қондырығысы жылу станциясының негізгі буындарының бірі болып табылады, оның сенімді және тиімді жұмысы тұтастай жылу-энергетикалық жүйелердің тиімділігін айқындайды деседе болады. Жылу қазандықтарын пайдалану барысында әдетте біраз мәселелер туындайды. Мысалға, механикалық тұрғыда – қазандық элемент-

терінің механикалық закымданулары [1], экологиялық тұрғыда - атмосфераға кететін отынның жану өнімдеріндегі (тутін газдары) экологиялық қауіпті заттар концентрациясын төмендету проблемалары [2]. Осындай олқылықтарды мейлінше азайту барысында әдетте автоматтаныруду мәселесі көтеріледі [3].

Әдетте бу қазандығында өтетін процесстерді автоматты реттеу үшін басқарылатын объектілердің (бу қазаны) математикалық модельдері белгілі болуы қажет. Практикалық тұрғыда объектілердің математикалық модельдерін алудың бірден бір жолы – тәжрибелік жолмен алынған екпін қисығын өңдеу. Өңдеудің әдетте түрлі тә-

сілдері бар, дегенімен дәлдігі жоғары тәсілдің бірі – М.П. Симою және Е.П. Стефани тәсілі. Кейде бұл тәсілді «аудандар тәсілі» депте атайды [4,5].

### **Zertteu материалдары мен әдістері**

Зерттелетін объект ретінде бу өндіру қазандығы карастырылады.

Мақаланың негізгі мақсаты, бу қысымы мен қазандыққа берелетін жанармай мөлшерінің араларындағы тәжрибелік тәуелділікті өндеде арқылы, «жанармай – қазандықтағы бу қысымы» каналы бойын-

ша бу қазандығының математикалық модельін айқындау.

Зерттеу тәсілі – тәжрибелік екпін қысығын М.П. Симою және Е.П. Стефани тәсілі арқылы өндедеу.

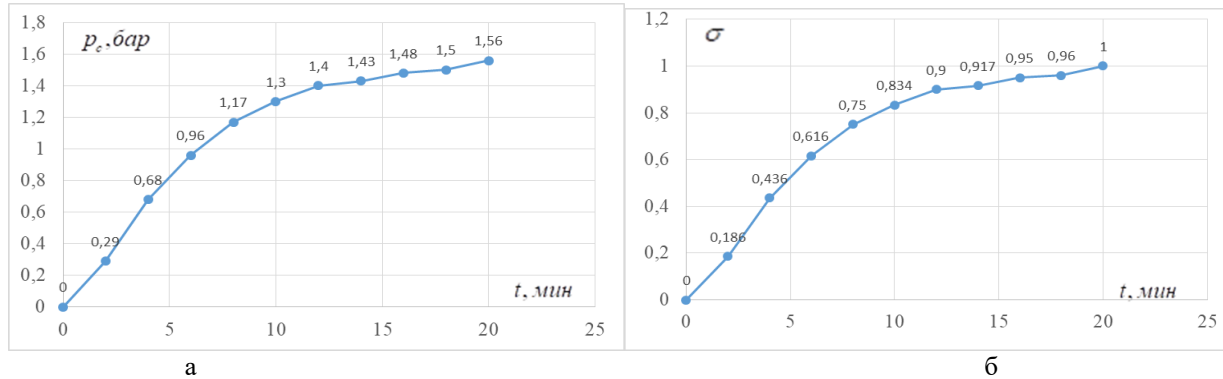
### **Нәтижелер және оларды талқылау**

Объекттің математикалық моделін объекттің кірістік және шығыстық шамаларының араларындағы тәжрибелік жолмен алынған сипаттамаға сүйене отырып анықтауға болады. Осындай тәжрибелік сипаттаманың бірі [6] еңбекте көлтірілген (1 кесте).

1-кесте. Тәжрибелік мәліметтердің орта мәндері.  $\mu$ , % - реттеуші органның ашылу дәрежесі,  $p_c$  – қысым (объекттің шығыстық шамасы),  $\sigma$  – шығыстық шаманың өлшемесін түрдегі ауыткуы

$\mu, \%$	10	10	10	10	10	10	10	10	10	10	10
$p_c$ , бар	0	0,29	0,68	0,96	1,17	1,3	1,4	1,43	1,48	1,5	1,56
$t$ , мин	0	2	4	6	8	10	12	14	16	18	20
$\sigma = \frac{p_c}{p_c(\infty)}$	0	0,186	0,436	0,616	0,75	0,834	0,9	0,917	0,95	0,96	1,0

Кестелік мәліметтерге сүйеніп, екпін қысығын түрғызамыз (1 сурет)



1 сурет. а -тәжрибелік екпін қысығы, б - салыстырмалы бірліктегі екпін қысығы

Полиномдар коэффициенттерінің оң мәндерін қанағаттандыратындағы беріліс функциясының макеті келесі түрде аламыз

$$W_0(s) = \frac{b_1 s + 1}{a_2 s^2 + a_1 s + 1} \quad (1)$$

Беріліс функциясының алымындағы және бөліміндегі полиномдардың коэффициенттері жалпы жағдайда келесі тендеулер жүйесінен табылады [7]

$$a_i = F_i + b_i + \sum_{j=1}^{i-1} b_i F_{i-j} \quad (2)$$

Біздін жағдайда бұл тендеулер жүйесі мынаған тең

$$\begin{aligned} a_1 &= F_1 + b_1 \\ a_2 &= F_2 + b_1 F_1 \\ 0 &= F_3 + b_1 F_2 \end{aligned} \quad (3)$$

Ал интегралдық аудандар  $F_i$  келесі формуладан анықталады [7]

$$F_i = F_1 \int_0^\infty (1 - \sigma) \left[ \frac{(-\theta)^{i-1}}{(i-1)!} + \frac{(-\theta)^{i-2}}{(i-2)!} + \sum_{j=0}^{i-3} \frac{F_{i-j-1} (-\theta)^j}{F_1^{i-j-1} j!} \right] d\theta \quad (4)$$

Біздің жағдайда белгісіз коэффициенттер саны үшке тең, сол себепті есептегетін интегралдық аудандар саны да үшке тең болуы қажет. Практикалық түрғыда (4)

$$\begin{aligned} F_1 &= \Delta t \left\{ \sum_{i=0}^n [1 - \sigma(i\Delta t)] - 0.5[1 - \sigma(0)] \right\} \\ F_2 &= F_1^2 \Delta \theta \left\{ \sum_{i=0}^n [1 - \sigma(i\Delta t)][1 - \theta(i\Delta t)] - 0.5[1 - \sigma(0)] \right\} \\ F_3 &= F_1^3 \Delta \theta \left\{ \sum_{i=0}^n [1 - \sigma(i\Delta t)] \left[ 1 - 2\theta(i\Delta t) + \frac{1}{2} \theta^2(i\Delta t) \right] - 0.5[1 - \sigma(0)] \right\} \end{aligned} \quad (5)$$

мұнда  $\Delta t$  – уақыт интервалы ( $\Delta t = 2$  мин),  $\theta(i\Delta t)$  – салыстырмалы уақыт

$$\theta(i\Delta t) = \frac{i\Delta t}{F_1} \quad (6)$$

*Eсептей кезеңдері:*

2-кестеде  $F_1$  ауданын есептеуге арналған мәліметтер келтірілген.

2-кесте.  $F_1$  ауданын есептеуге арналған мәліметтер

t	0	2	4	6	8	10	12	14	16	18	20	$\Sigma$
p	0	0,29	0,68	0,96	1,17	1,3	1,4	1,43	1,48	1,5	1,56	
$\sigma(i\Delta t)$	0	0,186	0,436	0,616	0,75	0,834	0,9	0,917	0,95	0,96	1,0	
$1 - \sigma(i\Delta t)$	1	0,814	0,564	0,384	0,25	0,166	0,1	0,083	0,05	0,04	0	3,451

2 кестедегі мәліметті пайдалана отырып, (5) формуладан  $F_1$  ауданның мәнін

есептеп табамыз:  $F_1 = 5,9$ ; Калған аудандарды есептеу үшін 3 кестені құрамыз

3 кесте.  $F_2$  және  $F_3$  аудандарын есептеу үшін қажеті мәліметтер

$1 - \sigma(i\Delta t)$	1	0,814	0,564	0,384	0,25	0,166	0,1	0,083	0,05	0,04	0
$\theta(i\Delta t)$	0	0,34	0,677	1,017	1,356	1,695	2,034	2,373	2,712	3,051	3,39
$\theta^2(i\Delta t)$	0	0,116	0,458	1,034	1,839	2,873	4,137	5,631	7,355	9,309	11,5
$1 - \theta(i\Delta t)$	1	0,66	0,323	-0,02	-0,36	-0,69	-1,03	-1,37	-1,71	-2,05	-2,39

Есептеу нәтижелері төменде келтірілген:  $F_2 = 7,35$ ;  $F_3 = -3,48$ ;

Аудандардың мәндерін (3) тендеу жүйесіне қойып, полиномдар коэффициенттерін анықтаймыз. Есептеу нәтижелері:

$$b_1 = 0,473; \quad a_1 = 6,37; \quad a_2 = 10,12;$$

$$W_0(p) = k_0 \frac{b_1 s + 1}{a_2 s^2 + a_1 s + 1} = \frac{0,76s + 1,6}{10,12s^2 + 6,37s + 1} \quad (7)$$

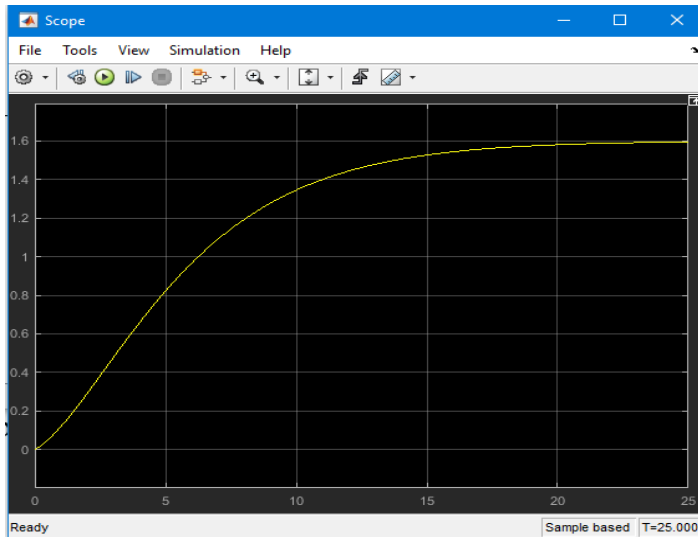
Бұл жағдайда бу казандығы тұрақты коэффициентті екінші ретті сызықты дифференциал тендеумен өрнектеледі

интегралды алу мүмкін емес, сондықтан интегралды жынытап косындымен алмастырады да, келесі түрде жазады

Беріліс коэффициенті  $k_0$  [6] еңбекте есептелген, есептеу нәтижесі бойынша  $k_0 = 1,6$  тең. Беріліс коэффициенттін есепке ала отырып, бу қазандығының «жанармай-бу қысымы» каналы бойынша беріліс функциясының былайша жазамыз

$$10,12 \frac{d^2 p_c(t)}{dt^2} + 6,37 \frac{dp_c(t)}{dt} + p_c(t) = 0,76 \frac{d\mu(t)}{dt} + 1,6\mu(t) \quad (8)$$

3 суретте *Matlab(Simulink)* модельдеу ортасының стандартты блогын *Transfer Function* қолдану арқылы өтпелі сипаттама түргызылған [8].



3 сурет. «Жанармай-бу қысым» каналы бойынша түргызылған екпін қысымы

3 суреттен байқайтынымыз, алынған математикалық модель тәжрибелік жолмен алынған сипаттаманы адекватты сипаттайты.

### Қорытынды

1. Бу қазандығының «жанармай-бу қысымы» каналы бойынша алынған тәжрибелік деректерді пайдалана отырып, бу қазандығының математикалық модельі айқындалды. Бу қазандығы екінші ретті сызықты дифференциал теңдеуімен сипатталады.

2. Бу қазандығының өтпелі сипаттамасы *Matlab(Simulink)* модельдеу ортасының стандартты блогын *Transfer Function* қолдану арқылы түргызылды. Модельдеу нәтижесі математикалық модельдің бу қазандығында өтетін процесті адекватты сипаттайтынын көрсөтті.

3. Мақалады келтірілген нәтижелер болашақта бу өндіру процесстерін автоматтандыруда қолданыс табады

### ПАЙДАЛАНЫЛҒАН ӘДЕБИЕТТЕР ТІЗІМІ

1. Костюк А.Г., Куменко А.И., Некрасов А.Л., Калинин С.В., Медведев С.В. Эксперимен-

тальный анализ пульсаций давления в паро-подводящих органах турбоагрегата. //Теплоэнергетика, 2000.- № 6.- С. 50-57.

2. Росляков П.В., Закиров И.А., Егорова Л.Е., Ионкин И.Л., Чадаев А.В., Райсфельд А.А. Система непрерывного контроля и регулирования процесса горения и вредных выбросов в атмосферу. //Теплоэнергетика, 2000.- № 6.- С. 35-40.

3. Голдобин Ю.М., Павлюк Е.Ю. Автоматизация теплоэнергетических установок : учеб. пособие /— Екатеринбург : УрФУ, 2017.— 186 с.

4. Шишкин О. П., Парфенов А. Н. Основы автоматики и автоматизация производственных процессов. Учебник для нефт. вузов и фак. — М.: Недра, 1965. - 340 с.

5. Стефани Е.П. Основы расчета настройки регуляторов теплоэнергетических процессов. 2-е изд., – М.: Энергия, 1972. – 376 с.

6. Пиотровский Д. Л. и др. Моделирование процесса стабилизации давления пара в паровом котле. //КубГАУ.- №92(08).- 2013.- С. 237-239.

7. Мартыненко И.И. Проектирование, монтаж и эксплуатация систем автоматики.- М.: «Колос», 1981.-304 с.

8. Дьяков В.П. MATLAB. Полный самоучитель.-М.: ДМК Пресс, 2012.-768 с.

### REFERENCES

- Kostyuk A.G., Kumenko A.I., Nekrasov A.L., Kalinin S.V., Medvedev S.V. Ehksperimental'nyi analiz pul'satsii davleniya v paro-podvodyashchikh organakh

- turboagregata.- //Teplo-ehnergetika, 2000.- № 6.- S. 50-57. (in Russian)
2. Roslyakov P.V., Zakirov I.A., Egorova L.E., Ionkin I.L., Chadaev A.V., Raisfel'd A.A. Sistema nepreryvnogo kontrolya i regulirovaniya protsesssa goreniya i vrednykh vybrosov v atmosferu.- //Teploehnergetika, 2000.- № 6.- S. 35-40. (in Russian)
3. Goldobin YU.M., Pavlyuk E.YU. Avtomatizatsiya teploehnergeticheskikh ustanovok : ucheb. posobie /.— Ekaterinburg : URFU, 2017.— 186 s. (in Russian)
4. Shishkin O. P., Parfenov A. N. Osnovy avtomatiki i avtomatizatsiya proizvodstvennykh protsessov. Uchebnik dlya neft. vuzov i fak. — M.: Nedra, 1965. - 340 s. (in Russian)
5. Stefani E.P. Osnovy rascheta nastroiki regulyatorov teploehnergeticheskikh protsessov. 2-e izd., — M.: Ehnergiya, 1972. – 376 s. (in Russian)
6. Piotrovskii D. L. i dr. Modelirovaniye protesssa stabilizatsii davleniya para v parovom kotle.- //KuBGAU.- №92(08).- 2013.- S. 237-239. (in Russian)
7. Martynenko I.I. Proektirovaniye, montazh i ehkspluatatsiya sistem avtomatiki.- M.: «KoloS», 1981.-304 s. (in Russian)
8. D'yakov V.P. MATLAB. Polnyi samouchitel'.-M.: DMK Press, 2012.-768 s. (in Russian)